

## บทที่ 3

### การโก่งงอของโครงสร้างแผ่นบางรูปสี่เหลี่ยมผืนผ้า

บทนี้กล่าวถึงทฤษฎีซึ่งเกี่ยวข้องกับวิชานี้ เนื้อหาทั้งหมดเป็นทฤษฎีการโก่งงอของโครงสร้างแผ่นบางรูปสี่เหลี่ยมผืนผ้าโดยสามารถแบ่งเป็น 4 ส่วนคือ ส่วนแรกเป็นทฤษฎีพื้นฐานของโครงสร้างแผ่นบางแสดงสมการครอบคลุม (governing equation) สำหรับการหาค่าการโก่งงอโดยวิธีวิเคราะห์แบบเชิงเส้น ส่วนที่สองเป็นการนำสมการครอบคลุมที่ได้มาคำนวณหาค่าการโก่งงอตามเงื่อนไขขอบเขต ขนาดและคุณสมบัติทางกลของวัสดุของโครงสร้างที่ศึกษา ส่วนที่สามคือการหาโหมดรูปแบบของการโก่งงอเพื่อนำมาเขียนกราฟการเคลื่อนที่นอกระนาบของโครงสร้าง ส่วนสุดท้ายกล่าวถึงการหาค่าการโก่งงอจากกราฟพฤติกรรมของโครงสร้างแผ่นบางเมื่อมีภาระกระทำในแนวระนาบ วิธีที่กล่าวถึงมีทั้งหมด 4 แบบคือ 1) การวิเคราะห์จากกราฟของความสัมพันธ์ระหว่าง  $P - w$  2) การวิเคราะห์จากกราฟของความสัมพันธ์ระหว่าง  $P - \delta$  3) การวิเคราะห์จากกราฟของความสัมพันธ์ระหว่าง  $P - \Delta \epsilon$  4) การวิเคราะห์จากกราฟของความสัมพันธ์ระหว่าง  $w/P - w$  หรือเรียกว่าวิธี Southwell plot

#### 3.1 ทฤษฎีพื้นฐานสำหรับโครงสร้างแผ่นบาง

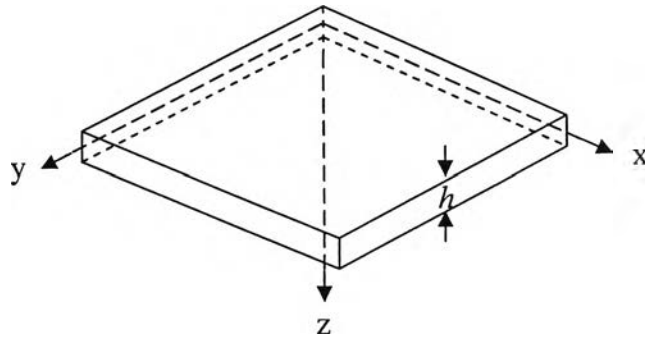
##### 3.1.1 นิยามและสมมติฐาน

วิชานี้ศึกษาการหาค่าการโก่งงอของโครงสร้าง โดยเป็นโครงสร้างแผ่นบางซึ่งรับแรงกดในแนวระนาบและมีเงื่อนไขขอบเขตแบบ simple support การคำนวณเพื่อหาค่าการโก่งงอโดยทฤษฎีแบบเชิงเส้นมีสมมติฐานต่อไปนี้ [12]

สมมติฐานเบื้องต้น

1. โครงสร้างแผ่นบางที่ศึกษาในวิชานี้เป็นแผ่นวัสดุไอโซทรอปิกซึ่งมีการกำหนดพิกัดฉากดังรูปที่ 3.1 โดยระนาบ  $x-y$  อยู่กึ่งกลางความหนาของชิ้นงาน
2. สมมติให้ความหนาของแผ่นทดสอบ  $h$  มีค่าน้อยมากเมื่อเทียบกับความยาว  $a$  และความกว้าง  $b$  ของแผ่นทดสอบ
3. ระยะเวลาเคลื่อนที่ของแผ่นทดสอบในทิศ  $x-y-z$  เมื่อได้รับภาระกระทำคือ  $u, v, w$  ตามลำดับ และระยะ  $u, v, w$  มีขนาดน้อยมากเมื่อเทียบกับความหนา  $h$

4. องค์ประกอบความเครียดบนระนาบ x-y ( $\varepsilon_x, \varepsilon_y, \gamma_{xy}$ ) มีค่าน้อยกว่า 1 มาก
5. ไม่คำนึงถึงความเครียดในทิศทาง z ( $\varepsilon_z$ ) (ความหนาไม่เปลี่ยนแปลงขณะเกิดการโก่งงอ)
6. ไม่คำนึงถึงความเครียดเฉือนนอกระนาบของแผ่นทดสอบ  $\gamma_{xz}$  และ  $\gamma_{yz}$  ซึ่งค่าทั้งสองมีค่าน้อยมาก
7. การเคลื่อนที่  $u, v$  เป็นฟังก์ชันเชิงเส้นกับระยะในทิศทาง z
8. ความสัมพันธ์ระหว่างความเค้นและความเครียดเป็นแบบเชิงเส้นตามกฎของฮุก
9. ไม่มีความเค้นเฉือน  $\tau_{xz}$  และ  $\tau_{yz}$  ที่ตำแหน่งกึ่งกลางความหนาของแผ่นบาง  $z = \pm h/2$



รูปที่ 3.1 ระบบพิกัดฉากของ โครงสร้างแผ่นบาง

จากสมมติฐานข้อ 5 และ 7 การกระจัด  $u, v, w$  ที่ตำแหน่งใด ๆ บนโครงสร้างแผ่นบางสามารถเขียนได้ ดังสมการต่อไปนี้ โดยที่  $F_1(x, y)$  และ  $F_2(x, y)$  เป็นฟังก์ชันของตัวแปร  $x$  และ  $y$

$$u(x, y, z) = zF_1(x, y) \quad (3.1 ก)$$

$$v(x, y, z) = zF_2(x, y) \quad (3.1 ข)$$

$$w(x, y, z) = w(x, y) \quad (3.1 ค)$$

โดย  $w(x, y)$  คือระยะการเคลื่อนที่ในทิศทาง z ของระนาบกลางของแผ่นทดสอบซึ่งค่าของ  $w(x, y)$  จะไม่ขึ้นกับระยะ z ตามสมมติฐานข้อที่ 5 ดังนั้นจึงสามารถเขียนระยะการเคลื่อนที่ในแนวนอกระนาบ  $w(x, y, z)$  ในรูปของ  $w(x, y)$  ได้

จากสมมติฐานข้อ 6 และสมการที่ 3.1 สามารถหา  $F_1(x, y)$  และ  $F_2(x, y)$  ได้จากสมการดังนี้

$$\gamma_{xz} = \frac{\partial u}{\partial z} + \frac{\partial w}{\partial x} = F_1(x, y) + \frac{\partial w}{\partial x} = 0 \quad (3.2 ก)$$

$$\gamma_{yz} = \frac{\partial v}{\partial z} + \frac{\partial w}{\partial y} = F_2(x, y) + \frac{\partial w}{\partial y} = 0 \quad (3.2 ข)$$

$$\text{ซึ่งจะได้ว่า } F_1(x, y) = -\frac{\partial w}{\partial x} \quad \text{และ} \quad F_2(x, y) = -\frac{\partial w}{\partial y} \quad (3.3)$$

เมื่อแทนค่า  $F_1(x, y)$  และ  $F_2(x, y)$  จากสมการที่ 3.3 ลงในสมการที่ 3.1 และหาความเครียดที่ตำแหน่งใด ๆ จากระยะการเคลื่อนที่  $u, v$  และ  $w$  ได้ดังต่อไปนี้

$$\varepsilon_x = \frac{\partial u}{\partial x} = -z \frac{\partial^2 w}{\partial x^2} \quad (3.4 ก)$$

$$\varepsilon_y = \frac{\partial v}{\partial y} = -z \frac{\partial^2 w}{\partial y^2} \quad (3.4 ข)$$

$$\gamma_{xy} = \frac{\partial u}{\partial y} + \frac{\partial v}{\partial x} = -2z \frac{\partial^2 w}{\partial x \partial y} \quad (3.4 ค)$$

ความสัมพันธ์ระหว่างความเค้นและความเครียดของโครงสร้างแผ่นบางได้ดังนี้

$$\sigma_x = \frac{E}{1-\nu^2} (\varepsilon_x + \nu \varepsilon_y) \quad (3.5 ก)$$

$$\sigma_y = \frac{E}{1-\nu^2} (\varepsilon_y + \nu \varepsilon_x) \quad (3.5 ข)$$

$$\tau_{xy} = \frac{E}{2(1+\nu)} \gamma_{xy} \quad (3.5 ค)$$

โดยค่า  $\nu$  คือ ค่าอัตราส่วนปัวร์ซอง (Poisson's ratio) และค่า  $E$  คือ โมดูลัสความยืดหยุ่น (Young's modulus) ดังนั้นค่าความเค้นสามารถเขียนให้อยู่ในรูปของระยะเคลื่อนที่ในทิศทาง  $z$  ได้ดังนี้

$$\sigma_x = -\frac{Ez}{1-\nu^2} \left( \frac{\partial^2 w}{\partial x^2} + \nu \frac{\partial^2 w}{\partial y^2} \right) \quad (3.6 ก)$$

$$\sigma_y = -\frac{Ez}{1-\nu^2} \left( \frac{\partial^2 w}{\partial y^2} + \nu \frac{\partial^2 w}{\partial x^2} \right) \quad (3.6 ข)$$

$$\tau_{xy} = -\frac{Ez}{(1+\nu)} \frac{\partial^2 w}{\partial x \partial y} \quad (3.6 ค)$$

โดยแรงและโมเมนต์ที่กระทำกับแผ่นทดสอบดังรูปที่ 3.2 สามารถเขียนในพจน์ของความเค้นได้ดังนี้

$$\left( N_x, N_y, N_{xy} \right) = \int_{-\frac{h}{2}}^{\frac{h}{2}} \left( \sigma_x, \sigma_y, \tau_{xy} \right) dz \quad (3.7 ก)$$

$$\left( M_x, M_y, M_{xy} \right) = \int_{-\frac{h}{2}}^{\frac{h}{2}} \left( \sigma_x, \sigma_y, \tau_{xy} \right) z dz \quad (3.7 ข)$$

เมื่อ  $h$  = ความหนาของแผ่นทดสอบ

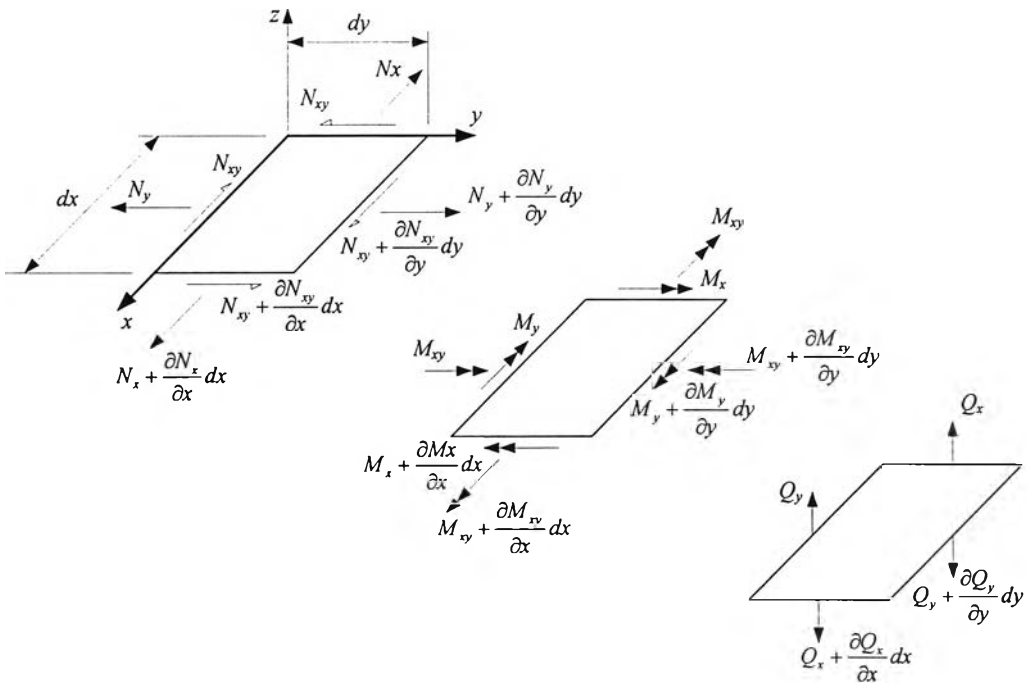
$(\sigma_x, \sigma_y, \tau_{xy})$  = องค์ประกอบความเค้น

$(N_x, N_y, N_{xy})$  = แรงในแนวระนาบต่อหน่วยความยาว

$(M_x, M_y, M_{xy})$  = โมเมนต์ต่อหน่วยความยาว

### 3.1.2 สมการครอบคลุมสำหรับปัญหาการโค้งงอของโครงสร้างแผ่นบาง

สมการครอบคลุมของปัญหาการโค้งงอของโครงสร้างแผ่นบางภายใต้ภาระในแนวระนาบ [13] สามารถสร้างขึ้นได้จากสมการสมดุลของแรงและโมเมนต์ จากนั้นจึงเขียนสมการขึ้นใหม่ในพจน์ขององค์ประกอบความเค้นโดยใช้สมการที่ 3.7 สุดท้ายเป็นการแทนสมการที่ 3.6 ลงไปก็จะได้สมการครอบคลุมในพจน์ของระยะเคลื่อนที่นอกระนาบกึ่งกลางความหนา รายละเอียดของขั้นตอนที่กล่าวไปมีดังนี้



รูปที่ 3.2 องค์ประกอบของแรงและโมเมนต์ที่กระทำกับ differential element

จากรูปที่ 3.2 จะได้สมการสมดุลของแรงตามแนวแกน x คือ

$$N_x dy + \frac{\partial N_x}{\partial x} dx dy + N_{xy} dx + \frac{\partial N_{xy}}{\partial y} dx dy - N_x dy - N_{xy} dx = 0$$

$$\frac{\partial N_x}{\partial x} + \frac{\partial N_{xy}}{\partial y} = 0 \quad (3.8)$$

สมการสมดุลของแรงตามแนวแกน y คือ

$$N_y dx + \frac{\partial N_y}{\partial y} dx dy + N_{xy} dy + \frac{\partial N_{xy}}{\partial x} dx dy - N_y dx - N_{xy} dy = 0$$

$$\frac{\partial N_y}{\partial y} + \frac{\partial N_{xy}}{\partial x} = 0 \quad (3.9)$$

สมการสมดุลของแรงในแนวแกน z คือ

$$Q_x dy + \frac{\partial Q_x}{\partial x} dx dy + Q_y dx + \frac{\partial Q_y}{\partial y} dx dy - Q_x dy - Q_y dx = 0$$

$$\frac{\partial Q_x}{\partial x} + \frac{\partial Q_y}{\partial y} = 0 \quad (3.10)$$

สมการของโมเมนต์รอบแกน x และแกน y จะนำไปสู่ความสัมพันธ์ดังต่อไปนี้

$$\frac{\partial M_y}{\partial y} + \frac{\partial M_{xy}}{\partial x} = Q_y \quad (3.11 ก)$$

$$\frac{\partial M_x}{\partial x} + \frac{\partial M_{xy}}{\partial y} = Q_x \quad (3.11 ข)$$

แทน  $Q_y$  และ  $Q_x$  จากสมการที่ 3.11 ลงในสมการที่ 3.10 จะได้สมการสมดุลของแรงในแกน z ในรูป

$$\frac{\partial^2 M_x}{\partial x^2} + 2 \frac{\partial^2 M_{xy}}{\partial x \partial y} + \frac{\partial^2 M_y}{\partial y^2} = 0 \quad (3.12)$$

สมการสมดุลของแรงในแนวระนาบตามแนวแกน z ขณะที่แผ่นบางเกิดการโก่งงอโดยพิจารณาแบบมีการโก่งงอเล็กน้อย (small deflection) และไม่คำนึงถึงแรง  $N_{xy}$  [13] คือ

$$N_x \frac{\partial^2 w}{\partial x^2} + N_y \frac{\partial^2 w}{\partial y^2} = 0 \quad (3.13)$$

เมื่อรวมผลของแรงในแนวระนาบเมื่อชิ้นงานโก่งงอ (สมการที่ 3.13) เข้ากับผลของแรงในแนวออก  
ระนาบ (สมการที่ 3.12) จะได้สมการผลรวมของแรงในทิศทาง z ดังนี้

$$\frac{\partial^2 M_x}{\partial x^2} + 2 \frac{\partial^2 M_{xy}}{\partial x \partial y} + \frac{\partial^2 M_y}{\partial y^2} + N_x \frac{\partial^2 w}{\partial x^2} + N_y \frac{\partial^2 w}{\partial y^2} = 0 \quad (3.14)$$

โมเมนต์ที่เกิดขึ้นทั้งหมดจากสมการที่ 3.7 สามารถแสดงในรูปของความโค้ง (curvature) ตามสมการที่ 3.6 ได้ดังนี้

$$M_x = -D \left( \frac{\partial^2 w}{\partial x^2} + \nu \frac{\partial^2 w}{\partial y^2} \right) \quad (3.15 ก)$$

$$M_y = -D \left( \frac{\partial^2 w}{\partial y^2} + \nu \frac{\partial^2 w}{\partial x^2} \right) \quad (3.15 ข)$$

$$M_{xy} = -D(1-\nu) \frac{\partial^2 w}{\partial x \partial y} \quad (3.15 ค)$$

โดย 
$$D = \frac{Eh^3}{12(1-\nu^2)}$$

แทนองค์ประกอบของโมเมนต์ทั้งหมดในสมการที่ 3.14 สามารถจัดรูปสมการครอบคลุมสำหรับปัญหาการโก่งงอใหม่ได้ดังนี้

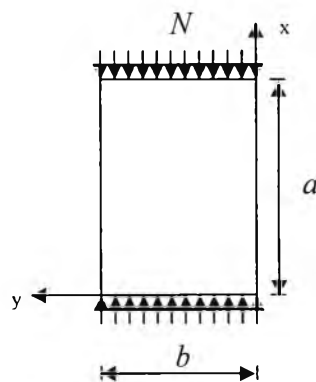
$$D \nabla^4 w = N_x \frac{\partial^2 w}{\partial x^2} + N_y \frac{\partial^2 w}{\partial y^2} \quad (3.16)$$

เมื่อ

$$\nabla^4 w = \frac{\partial^4 w}{\partial x^4} + 2 \frac{\partial^4 w}{\partial x^2 \partial y^2} + \frac{\partial^4 w}{\partial y^4}$$

### 3.2 การหาค่าภาระการโก่งงอของโครงสร้างแผ่นบางรูปสี่เหลี่ยมผืนผ้า

สำหรับปัญหานี้กำหนดให้แผ่นทดสอบมีความกว้างเท่ากับ  $b$  และมีความยาวเท่ากับ  $a$  ได้รับแรงกดในทิศทาง  $x$  เป็นแรงกระจาย  $N$  ดังรูปที่ 3.3



รูปที่ 3.3 ชิ้นงานรูปสี่เหลี่ยมผืนผ้ารับแรงกดในทิศทางเดียว

สมการครอบคลุมสำหรับปัญหาการโก่งงอของโครงสร้างแผ่นบางจะเขียนได้เป็น

$$\frac{\partial^4 w}{\partial x^4} + 2 \frac{\partial^4 w}{\partial x^2 \partial y^2} + \frac{\partial^4 w}{\partial y^4} = -\frac{N}{D} \frac{\partial^2 w}{\partial x^2} \quad (3.17)$$

เงื่อนไขขอบเขตแบบ simple support คือ

$$\text{ในแนว } x = 0, x = a \text{ ค่า } w = 0 \text{ และ } M_x = -D \left( \frac{\partial^2 w}{\partial x^2} + \nu \frac{\partial^2 w}{\partial y^2} \right) = 0$$

$$\text{ในแนว } y = 0, y = b \text{ ค่า } w = 0 \text{ และ } M_y = -D \left( \frac{\partial^2 w}{\partial y^2} + \nu \frac{\partial^2 w}{\partial x^2} \right) = 0$$

สมมติสมการการเคลื่อนที่ของโครงสร้างแผ่นบางรูปสี่เหลี่ยมผืนผ้าในทิศทาง  $z$  ( $w$ ) ที่สอดคล้องกับเงื่อนไขขอบเขตในรูปของ

$$w(x, y) = W_{mn} \sin \frac{m\pi x}{a} \sin \frac{n\pi y}{b} \quad (3.18)$$

โดยค่า  $W_{mn}$  คือปริมาณการเคลื่อนที่ที่นอกระนาบ ส่วนค่า  $m$  และ  $n$  คือจำนวนเต็มบวกแสดงถึงคลื่นรูปซายน์ครึ่งรูป (half sine wave) ในแกน  $x$  และ  $y$  ตามลำดับ เมื่อแทนค่า  $w(x, y)$  ลงในสมการที่ 3.17 จะได้

$$W_{mn} \left( m^4 \pi^4 + 2R^2 m^2 n^2 \pi^4 + R^4 n^4 \pi^4 - \frac{Na^2}{D} m^2 \pi^2 \right) \sin \frac{m\pi x}{a} \sin \frac{n\pi y}{b} = 0 \quad (3.19)$$

โดย  $R = a/b$  หรือเรียกว่าสัดส่วนรูปร่าง (aspect ratio) เป็นสัดส่วนความสูงต่อความกว้างของชิ้นงาน

สมการที่ 3.19 จะเป็นจริงเมื่อพจน์ในวงเล็บมีค่าเท่ากับศูนย์ดังนั้นภาวะ  $N$  ที่ทำให้สมการที่ 3.19 เป็นจริงดังนี้

$$N = \frac{D\pi^2}{a^2} \left( m^2 + 2R^2 n^2 + R^4 \frac{n^4}{m^2} \right) \quad (3.20)$$

หรือจัดรูปสมการใหม่ได้เป็น



$$N = \frac{D\pi^2}{b^2} \left( \frac{m}{R} + \frac{n^2}{m} R \right)^2 \quad (3.21)$$

ค่าภาระที่ได้จากสมการที่ 3.20 หรือ 3.21 จะเป็นค่าภาระการโค้งงอที่ต่ำสุดเมื่อค่าที่คำนวณได้มีค่าน้อยที่สุด โดยการแทนค่า  $m$  และ  $n$  ตั้งแต่ 1, 2, 3,... จะได้ว่า  $N$  มีค่าน้อยที่สุดเมื่อค่า  $n$  เท่ากับ 1 สำหรับ  $m$  ค่าใด ๆ ค่าหนึ่ง โดยค่า  $m$  ที่ทำให้ค่าภาระน้อยที่สุดนั้นเป็นสิ่งที่กำหนดรูปร่างของโครงสร้างแผ่นบางเมื่อเกิดการโค้งงอในทางทฤษฎีซึ่งเรียกว่าโหมคการโค้งงอ

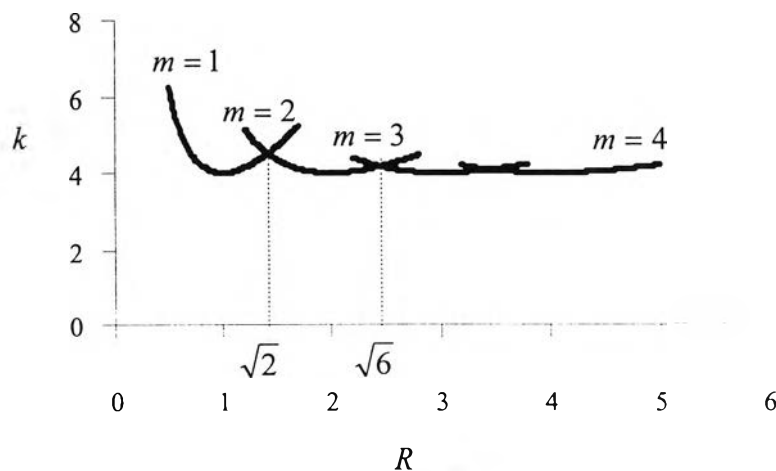
สมการที่ 3.21 สามารถจัดรูปได้ใหม่เป็น

$$N = kD\pi^2/b^2 \quad (3.22)$$

โดย

$$k = \left( m/R + n^2 R/m \right)^2 \quad (3.23)$$

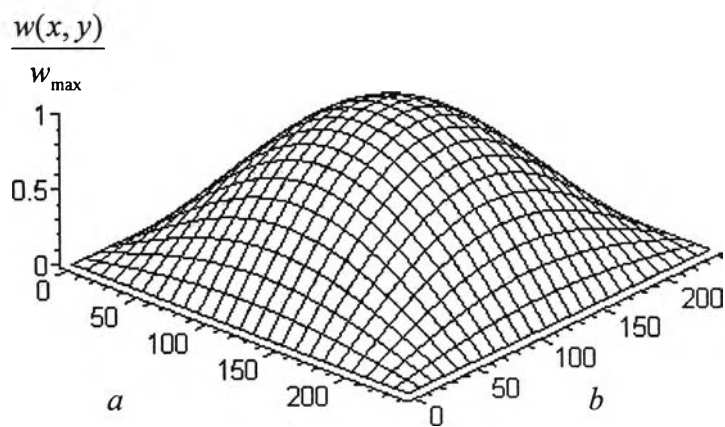
สมการที่ 3.22 แสดงให้เห็นว่าสำหรับโครงสร้างแผ่นบางชิ้นหนึ่งค่าภาระการโค้งงอขึ้นอยู่กับสัมประสิทธิ์การโค้งงอ  $k$  โดยสัมประสิทธิ์การโค้งงอแปรผันตามสัดส่วนรูปร่าง  $R$  เมื่อเขียนกราฟความสัมพันธ์ระหว่างสัมประสิทธิ์การโค้งงอ  $k$  กับสัดส่วนรูปร่าง  $R$  ที่ค่า  $m$  มีค่าตั้งแต่ 1, 2, 3,... ซึ่งค่า  $n$  เท่ากับ 1 จะได้กราฟดังรูปที่ 3.4 จากกราฟจะเห็นว่าที่  $R$  น้อยกว่า 1  $k$  จะขึ้นอย่างมากกับค่า  $R$  แต่ขณะที่  $R$  มากกว่าหรือเท่ากับ 4  $k$  แทบจะไม่ขึ้นกับค่า  $R$  นอกจากนี้จุดตัดกันของกราฟที่  $m$  เท่ากับ 1 และ 2 ที่  $m$  เท่ากับ 2 และ 3 และที่  $m$  เท่ากับ 3 และ 4 จะเป็นตำแหน่งที่อาจเกิดการโค้งงอในโหมคการโค้งงอที่อยู่ติดกันได้ทางทฤษฎี เนื่องจากค่า  $k$  มีค่าเท่ากันสำหรับโหมคการโค้งงอที่ติดกัน



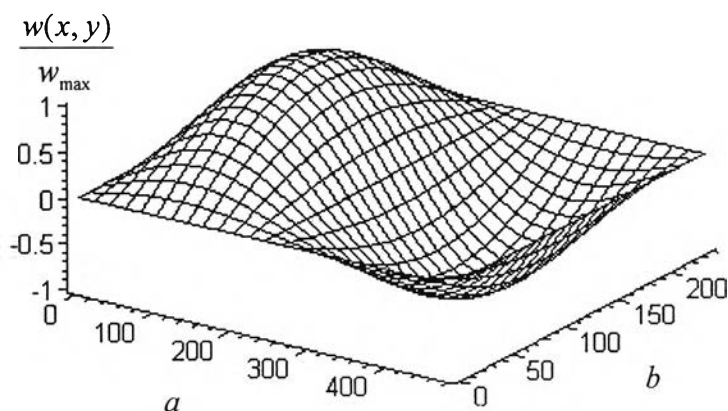
รูปที่ 3.4 การแปรผันของสัมประสิทธิ์การโค้งงอ  $k$  ต่ออัตราส่วน  $R$

### 3.3 การหาโหมดการโก่งงอของโครงสร้างแผ่นบาง

การหาโหมดการโก่งงอของชิ้นงานทำได้โดยการแทนค่า  $m$  และ  $n$  ที่ทำให้ค่าสัมประสิทธิ์การโก่งงอ  $k$  มีค่าน้อยสุด ในกรณีนี้ค่า  $n$  จะเท่ากับหนึ่งเสมอส่วนค่า  $m$  ที่ทำให้  $k$  มีค่าต่ำสุดจะขึ้นอยู่กับสัดส่วนของชิ้นงาน โดยสามารถหาค่าได้จากการเขียนกราฟลักษณะเดียวกับรูปที่ 3.4 เมื่อทราบค่า  $m$  และ  $n$  แล้วจะสามารถหาสมการการเคลื่อนที่นอกกระนาบได้จากสมการที่ 3.18 สมมติค่า  $m$  เท่ากับ 1 หรือ 2 ชิ้นงานจะเกิดการโก่งงอในโหมด 1 และโหมด 2 ตามลำดับ จากการคำนวณเพื่อหาค่าภาระการโก่งงอของโครงสร้างแผ่นบางนั้น โครงสร้างแผ่นบางที่มีขนาดความยาวเท่ากับความกว้างจะเกิดการโก่งงอแบบโหมด 1 ส่วนโครงสร้างแผ่นบางที่มีขนาดความยาวเป็นสองเท่าของความกว้างจะเกิดการโก่งงอแบบโหมด 2 ดังแสดงในรูปที่ 3.5 และ 3.6 ตามลำดับ



รูปที่ 3.5 การเคลื่อนที่นอกกระนาบของแผ่นบางแบบโหมด 1 ( $m$  และ  $n = 1$  ซึ่ง  $a/b = 1$ )



รูปที่ 3.6 การเคลื่อนที่นอกกระนาบของแผ่นบางแบบโหมด 2 ( $m = 2$  และ  $n = 1$  ซึ่ง  $a/b = 2$ )

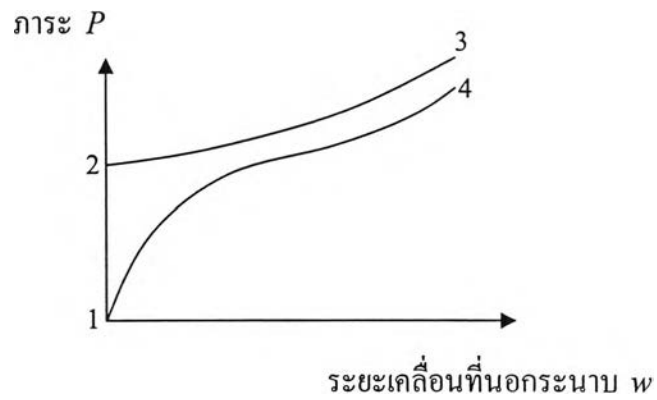
### 3.4 การหาค่าภาระการโค้งงอโดยการทดลอง

ในทางทฤษฎีการหาค่าภาระการโค้งงอสามารถสังเกตจากกราฟความสัมพันธ์ระหว่างภาระในแนวระนาบกับระยะเคลื่อนที่นอกระนาบดังรูปที่ 1.1 ได้โดยง่าย จากรูปที่ 1.1 เมื่อภาระเพิ่มขึ้นในตอนต้นจะยังไม่มียาระยะโค้งงอหรือระยะเคลื่อนที่นอกระนาบเกิดขึ้น จนกระทั่งภาระถึงค่าภาระวิกฤตระยะเคลื่อนที่นอกระนาบจึงเริ่มปรากฏให้เห็น ดังนั้นการระบุค่าภาระการโค้งงอจากกราฟจึงทำได้ง่ายถ้าพฤติกรรมการโค้งงอเป็นแบบอุดมคติ อย่างไรก็ตามพฤติกรรมการโค้งงอที่เกิดขึ้นจริงจากการทดลองไม่เป็นเช่นนั้นเนื่องจากชิ้นงานและเงื่อนไขขอบเขตของชิ้นงานมีความไม่สมบูรณ์ทำให้กราฟความสัมพันธ์ระหว่างภาระและระยะเคลื่อนที่นอกระนาบมีลักษณะแตกต่างจากทฤษฎี ดังนั้นการระบุจุดที่เกิดการโค้งงอจึงทำได้ยาก ที่ผ่านมามีการเสนอวิธีต่าง ๆ สำหรับหาค่าตำแหน่งที่เกิดโค้งงอ วิธีหาค่าภาระการโค้งงอในการทดลองถูกรวบรวมไว้ในหนังสือของ Singer และคณะ [5] โดยวิธีส่วนใหญ่ที่กล่าวไว้เป็นการสังเกตแนวโน้มของพารามิเตอร์ต่าง ๆ เช่น ระยะเคลื่อนที่นอกระนาบหรือความเครียดที่ผิวหน้าเมื่อโครงสร้างถูกภาระกระทำ พารามิเตอร์เหล่านี้เป็นพารามิเตอร์เดียวกับที่ใช้ในการคำนวณเพื่อทำนายพฤติกรรมการโค้งงอทางด้านทฤษฎีแบบไม่เชิงเส้น วิทยานิพนธ์นี้ได้เปรียบเทียบวิธีการหาค่าภาระการโค้งงอจากกราฟพฤติกรรมการโค้งงอของโครงสร้างแผ่นบางทั้งหมด 4 วิธีคือ 1. วิธีระยะเคลื่อนที่นอกระนาบ 2. วิธี end-shortening 3. วิธีผลต่างความเครียดและ 4. วิธี Southwell plot สำหรับการหาโหมดการโค้งงอจากการทดลองนั้นมีหลายวิธี วิธีหนึ่งที่ทำให้สามารถเห็นลักษณะการโค้งงอของชิ้นงานคือวิธี Moiré Method [4] โดยเป็นวิธีการที่ใช้หลักการซ้อนทับของแสงซึ่งอธิบายไว้ในส่วนท้ายของบทนี้

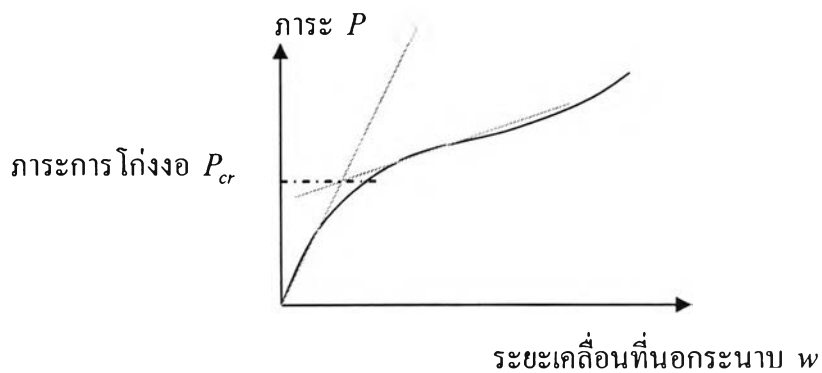
#### 3.4.1 วิธีระยะเคลื่อนที่นอกระนาบ

วิธีนี้ระบุค่าภาระการโค้งงอจากกราฟของความสัมพันธ์ระหว่างภาระในแนวระนาบกับระยะเคลื่อนที่นอกระนาบของแผ่นทดสอบ ณ บริเวณที่เกิดการเคลื่อนที่ในทิศทาง z สูงสุด กราฟของความสัมพันธ์ระหว่างภาระในแนวระนาบกับระยะเคลื่อนที่นอกระนาบทางอุดมคติจะมีลักษณะตามเส้นทาง 1-2-3 ในรูปที่ 3.7 กล่าวคือช่วงแรกเมื่อมีการเพิ่มภาระในแนวระนาบบนโครงสร้างแผ่นบางจะยังไม่เกิดระยะเคลื่อนที่นอกระนาบ เมื่อภาระเพิ่มถึงค่าภาระวิกฤตหรือภาระการโค้งงอ (จุด 2) โครงสร้างแผ่นบางจึงเริ่มเกิดการโค้งงอหรือเริ่มเกิดระยะเคลื่อนที่นอกระนาบ แต่ในทางปฏิบัติการโค้งงอของโครงสร้างแผ่นบางจะปรากฏตั้งแต่ให้ภาระกับโครงสร้างแผ่นบางดังรูปที่ 3.7 ในเส้นทางจุด 1 ไปยังจุด 4 การระบุค่าภาระการโค้งงอวิธีนี้ใช้จุดตัดของเส้นตรงที่มีความชันสอดคล้องกับพฤติกรรมช่วงก่อนเกิดการโค้งงอและช่วงหลังเกิดการโค้งงอดังรูปที่ 3.8 งานวิจัยที่ผ่านมาและหนังสือของ Singer และคณะ [5] กล่าวว่าวิธีนี้เป็นวิธีซึ่งให้ผลค่อนข้างใกล้เคียงกับค่าจากการคำนวณมากแต่วิธีนี้ต้องการแผ่น

ทดสอบที่เรียบและมีความสมบูรณ์สูงเพื่อให้ได้กราฟซึ่งมีลักษณะใกล้เคียงคณิต ( 1-2-3 รูปที่ 3.7 ) มากที่สุด



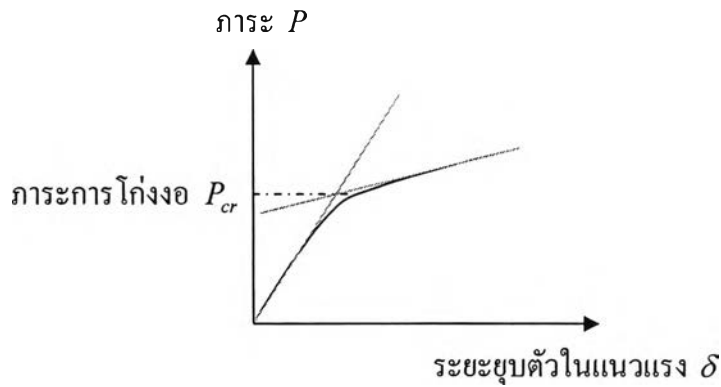
รูปที่ 3.7 พฤติกรรมการโก่งงอของ โครงสร้างแผ่นบาง



รูปที่ 3.8 การหาค่าภาระการโก่งงอโดยวิธีระยะเคลื่อนที่นอกกระนาบ

### 3.4.2 วิธี end-shortening

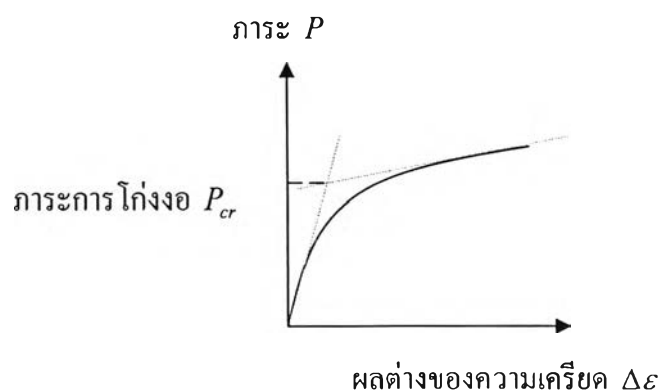
วิธีนี้วัดค่าภาระในแนวระนาบกับระยะขยุบตัวในทิศทาง  $x$  ของแผ่นทดสอบ แล้วนำข้อมูลทั้งสองมาเขียนกราฟดังรูปที่ 3.9 จากกราฟจะสามารถสร้างเส้นสัมผัสพฤติกรรมช่วงก่อนและช่วงหลังการโก่งงอได้ ภาระ ณ จุดตัดของเส้นตรงทั้งสองคือภาระการโก่งงอ



รูปที่ 3.9 การหาค่าภาระการ โกงงอ โดยวิธี end-shortening

### 3.4.3 วิธีผลต่างความเครียด

วิธีนี้หาค่าภาระการ โกงงอจากกราฟความสัมพันธ์ระหว่างภาระในแนวระนาบกับผลต่างของความเครียดบนผิวทั้งสองด้านของแผ่นทดสอบ ณ ตำแหน่งที่มีการเคลื่อนที่ในทิศทาง  $z$  สูงสุด ความเครียดบนผิวด้านหนึ่งของแผ่นทดสอบจะมีค่าเป็นลบตลอดเวลาเมื่อแรงกดเพิ่มขึ้น ส่วนอีกด้านหนึ่งนั้นความเครียดจะมีค่าเป็นลบขณะเริ่มต้นรับภาระเช่นกันแต่จะมีค่าค่อย ๆ เพิ่มขึ้นจนมีค่าเป็นบวก เมื่อนำความเครียดทั้งสองมาหาผลต่างและนำมาพล็อตกับภาระในแนวระนาบ จะได้เส้นกราฟที่มีลักษณะดังรูปที่ 3.10 โดยที่ค่า  $\Delta \epsilon$  คือผลต่างของค่าความเครียดที่ผิวด้านที่เกิดความเครียดกดตลอดกับค่าความเครียดที่ผิวด้านที่เกิดทั้งความเครียดกดและความเครียดดึง จากกราฟสามารถสร้างเส้นตรงสัมผัสกับพฤติกรรมในช่วงก่อนและช่วงหลังการ โกงงอได้และจุดตัดของเส้นตรงทั้งสองคือจุดที่เกิดการ โกงงอภาระ ณ จุดตัดนี้คือค่าภาระการ โกงงอ



รูปที่ 3.10 การหาค่าภาระการ โกงงอ โดยวิธีผลต่างความเครียด

### 3.4.4 วิธี Southwell plot

วิธีนี้วัดค่าภาระในแนวระนาบกับระยะเคลื่อนที่ของแผ่นทดสอบในทิศทาง  $z$  บริเวณที่มีการเคลื่อนที่สูงสุดเหมือนกับวิธีระยะเคลื่อนที่นอกระนาบ แต่เป็นการนำข้อมูลทั้งสองมาเขียนกราฟของความสัมพันธ์ระหว่างอัตราส่วนของการเคลื่อนที่ในทิศทาง  $z$  ต่อภาระขณะนั้น ๆ กับภาระเคลื่อนที่ในทิศทาง  $z$  ความชันของกราฟจะแทนส่วนกลับของค่าภาระการโก่งงอ วิธีนี้เป็นวิธีที่ใช้กันบ้างสำหรับการหาค่าภาระการโก่งงอของเสาและโครงสร้างแผ่นบาง เพราะว่ามีที่มาจากการจัดรูปของสมการทางเสถียรภาพ [5] ของเสาเมื่อได้รับแรงกดในแนวแกน  $P$  สำหรับเสามีค่าโมดูลัสความยืดหยุ่น  $E$  และโมเมนต์ความเฉื่อย  $I$  จะได้สมการครอบคลุมคือ

$$w^{iv} + \frac{P}{EI} w'' = -\frac{P}{EI} w_0'' \quad (3.24)$$

โดย  $w$  คือ ระยะเคลื่อนที่นอกระนาบ

$w_0$  คือ ระยะเคลื่อนที่นอกระนาบเริ่มต้นเนื่องจากความไม่สมบูรณ์

สำหรับเงื่อนไขขอบเขตแบบ simple support จะได้ว่าระยะเคลื่อนที่นอกระนาบและโมเมนต์บิดที่ปลายทั้งสองด้านของเสาเท่ากับศูนย์ หรือ  $w(0) = w''(0) = w(L) = w''(L) = 0$  ระยะเคลื่อนที่นอกระนาบที่สอดคล้องกับเงื่อนไขขอบเขตสามารถเขียนในรูปทั่วไปได้ดังนี้

$$w(x) = \sum_{n=1}^{\infty} W_n \sin\left(\frac{n\pi x}{L}\right) \quad (3.25)$$

$$w_0(x) = \sum_{n=1}^{\infty} W_{0n} \sin\left(\frac{n\pi x}{L}\right) \quad (3.26)$$

เมื่อแทนค่าระยะเคลื่อนที่นอกระนาบและระยะเคลื่อนที่นอกระนาบเริ่มต้นลงในสมการที่ 3.24 จะได้ว่า

$$W_n = W_{0n} \left[ \left( \frac{n^2 \pi^2 EI}{PL^2} \right) - 1 \right]^{-1} = W_{0n} \left[ \left( \frac{n^2 P_E}{P} \right) - 1 \right]^{-1} ; P_E = (\pi^2 EI/L^2) \quad (3.27)$$

ซึ่งเรียกพจน์  $P_E$  ว่า Euler load หรือค่าภาระการโก่งงอตามทฤษฎีเชิงเส้นของโครงสร้างในอุดมคติ ระยะเคลื่อนที่นอกระนาบสูงสุด ( $W$ ) เกิดขึ้นที่  $x = L/2$  ซึ่งจะทำให้ค่าระยะเคลื่อนที่นอกระนาบในสมการที่ 3.25 เป็น

$$W(L/2) = W_1 - W_3 + W_5 - \dots$$

หรือจากสมการที่ 3.27 ประมาณได้ว่า

$$W \cong W_1 = W_{01} \left[ \left( \frac{P_E}{P} \right) - 1 \right]^{-1} \quad (3.28)$$

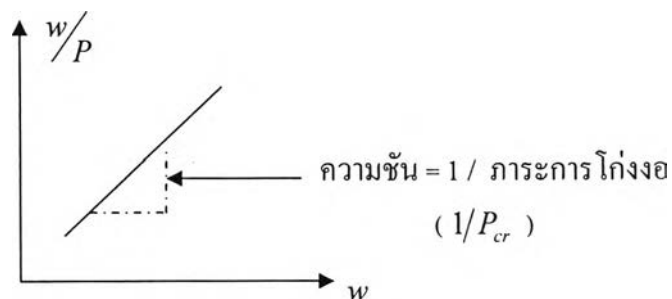
ในที่นี้ค่าของ  $W_{01}$  คือค่าสมมติของความไม่เรียบหรือเป็นค่าประมาณของระยะการโค้งงอเริ่มต้น ( $W_0$ ) ที่ส่งผลต่อรูปแบบของการโค้งงอ ดังนั้นสมการที่ 3.28 จะอยู่ในรูป

$$W = P_E \frac{W}{P} - W_0 \quad (3.29)$$

และเมื่อพิจารณาสมการที่ 3.29 แบบไม่มีพจน์ของระยะการโค้งงอเริ่มต้นหรือเสามีความสมบูรณ์โดยสมการที่ 3.29 จัดรูปใหม่ได้ดังนี้

$$\frac{W}{P} = \left( 1/P_E \right) W \quad (3.30)$$

จากสมการที่ 3.30 มีลักษณะเป็นสมการเชิงเส้นเมื่อพิจารณาพจน์  $W/P$  เป็นพารามิเตอร์ในแนวแกนตั้งและพจน์  $W$  เป็นพารามิเตอร์ในแนวแกนนอน โดยที่สมการเชิงเส้นดังกล่าวมีความชันเท่ากับ  $1/P_E$  ของสมการและมีลักษณะกราฟเป็นดังรูปที่ 3.11 วิธีนี้มีข้อจำกัดตรงที่ระยะเคลื่อนที่นอกกระนาบของแผ่นทดสอบในทิศทาง z ต้องมีค่าน้อยเมื่อเทียบกับความหนาของแผ่นทดสอบและแผ่นทดสอบควรมีความเรียบสมบูรณ์สูงมาก

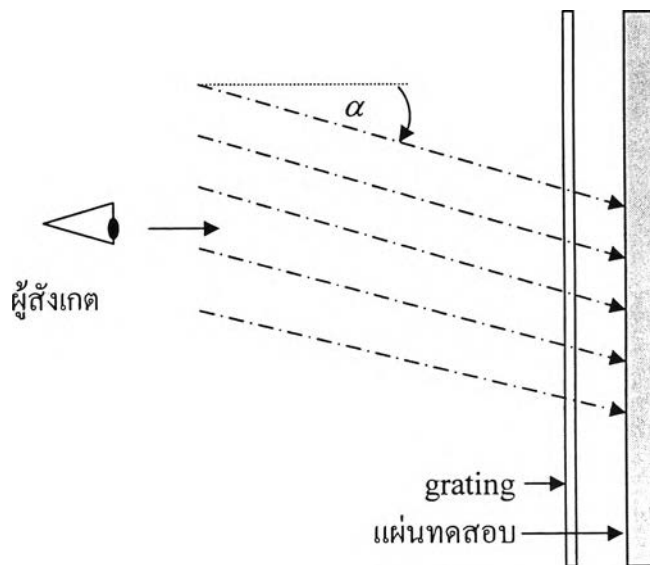


รูปที่ 3.11 การหาค่าภาระการโค้งงอโดยวิธี Southwell plot

### 3.4.5 การวัดโหมดการโค้งงอ

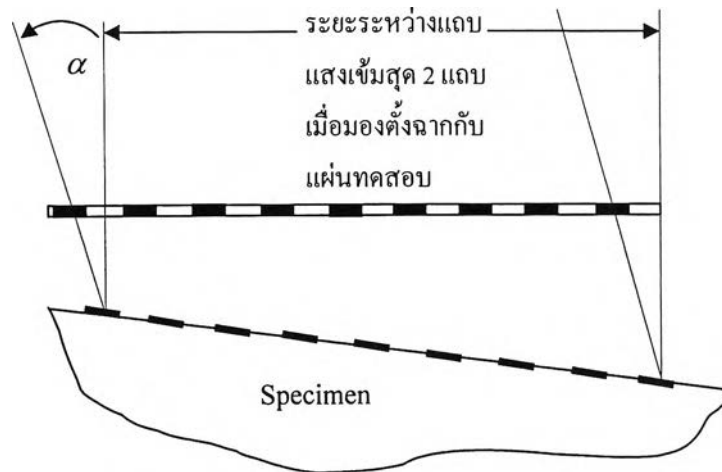
เนื่องจากไม่สามารถสังเกตโหมดการโค้งงอของแผ่นทดสอบได้ด้วยตาเปล่าเนื่องมาจากการเคลื่อนที่ในทิศทาง  $z$  ของแผ่นทดสอบมีค่าน้อย จึงจำเป็นต้องมีการตรวจสอบรูปแบบการโค้งงอหรือโหมดการโค้งงออย่างคร่าว ๆ และอาจใช้สำหรับกำหนดตำแหน่งในการวัดค่าพารามิเตอร์ต่าง ๆ เพื่อเขียนกราฟพฤติกรรมการโค้งงอ วิทยานิพนธ์นี้ใช้วิธี Moiré Method [4] ในการสังเกตรูปแบบการโค้งงอ

วิธีนี้ใช้ reference grating ซึ่งมีลักษณะเป็นแผ่นบางมีแถบใสและทึบที่วางขนานและสลับกันไปมา มีความละเอียดระหว่าง 50 ถึง 1000 เส้นต่อความยาว 1 นิ้ว grating จะยอมให้แสงผ่านได้ในแถบใสและแสงจะไม่ผ่านในช่องทึบแสง ปรากฏการณ์จะเกิดขึ้นเมื่อแสงขนานสีขาวส่องทำมุมใด ๆ ผ่าน grating แล้วไปกระทบวัตถุที่มีผิวไม่ขนานกับ grating ดังรูปที่ 3.12 และ 3.13



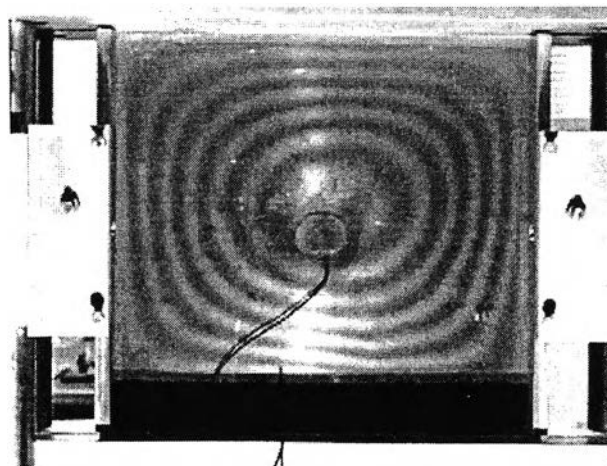
รูปที่ 3.12 แสงขนานตกกระทบทำมุมกับ grating



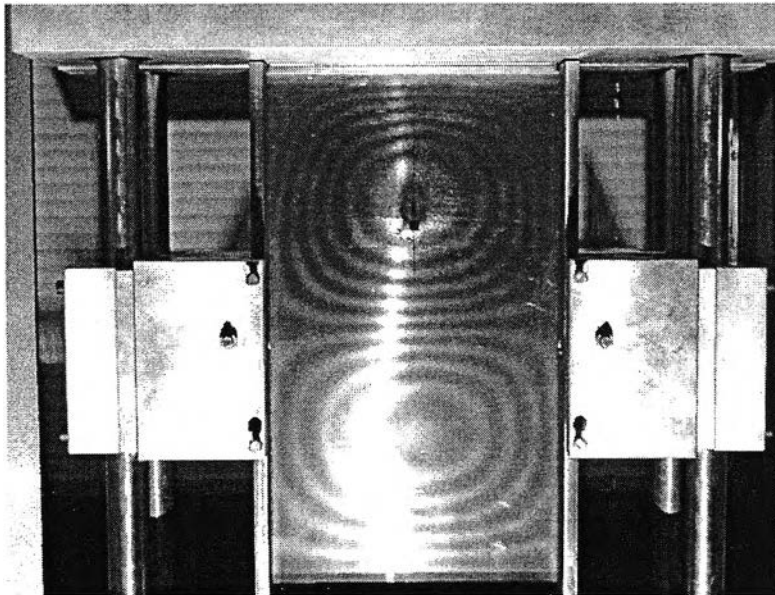


รูปที่ 3.13 การเหลื่อมล้าระหว่างแถบสีและเงา

เมื่อมองในทิศที่ตั้งฉากกับเส้นอ้างอิงก็จะเห็นการซ้อนทับกันแบบไม่สนิทของแถบสว่างและมืดจำนวนมาก ส่งผลให้เกิดแถบแสงที่มีความเข้มต่างๆกันออกไปโดยเห็นเป็นแถบแสงสีขาวและเข้มขึ้นไปเรื่อยๆ จนเป็นสีดำ บริเวณที่มีการเคลื่อนที่ในทิศทาง z เท่ากันแสดงให้เห็นในรูปของความเข้มที่เท่ากันเช่นในรูปที่ 3.14 และรูปที่ 3.15 แสดงถึงแผ่นสี่เหลี่ยมผืนผ้าที่ได้รับแรงกดในแนวระนาบ ซึ่งในรูปดังกล่าวโหมดการโก่งงอคือโหมด 1 และโหมด 2 ตามลำดับ



รูปที่ 3.14 รูปแบบการโก่งงอในโหมดที่ 1 วัดโดยวิธี Moiré Method [4]



รูปที่ 3.15 รูปแบบการโค้งงอในโหมดที่ 2 วัดโดยวิธี Moiré Method [4]